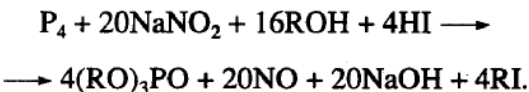


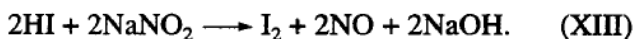
талей связей и способствующий проявлению  $\sigma$ -акцепторных свойств атома О [18].

#### Основные стадии катализитического окисления $P_4$ нитритом натрия в спирте в присутствии $I_2$ .

Во время индукционного периода на кривых  $w-\tau$  и  $w-Q$  тетрафосфор в избытке  $NaNO_2$  и  $I_2$  преимущественно окисляется не кислородом, а нитритом натрия с образованием  $(RO)_3PO$  и  $NO$  (средний цикл схемы). Катализатором процесса на этом этапе является иодид-ион:

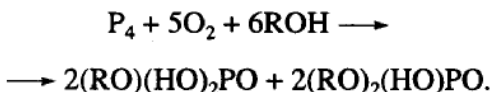


Катализитический процесс включает восстановление  $I_2$  тетрафосфором с образованием триалкилфосфата (III) и окисление  $I^-$  нитритом до  $I_2$  (XIII):



В инертной атмосфере (Ar) количества выделившегося  $NO$  и образовавшегося  $(RO)_3PO$  соответствуют стехиометрии реакций (III) и (XIII).

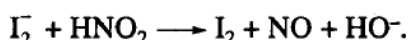
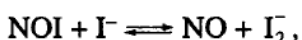
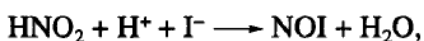
При исходном отношении  $[NaNO_2]/[P_4] \approx 15 - 20$  наблюдается практически количественный выход  $(RO)_3PO$  в расчете на прореагировавший фосфор (80 - 100%) (таблица). При отношениях  $[NaNO_2]/[P_4] < 16$  выход триалкилфосфата падает в результате протекания побочной реакции окисления  $P_4$  кислородом доmono- и диалкилфосфатов (см. схему):



Добавление  $NaNO_2$  к спиртовому раствору  $I_2$  вызывает изменение продукта реакции окисления  $P_4$ . Обнаруженный эффект обусловлен тем, что  $NaNO_2$ , окисляя  $I^-$  до  $I_2$ , удаляет из реакционной среды иодид-ионы, восстанавливающие  $PI_5$  до  $PI_3$ . В результате в системе резко падает концентрация  $PI_3$ , формирующего фосфористую кислоту, и возрастает содержание  $PI_5$ , образующего  $(RO)_3PO$ .

Скорость окисления  $HI$  до  $I_2$  нитритом натрия зависит от кислотности среды [19, 20]:  $w = k [HNO_2][H^+][I^-]$ . При  $25^\circ C$   $k = 6.7 \times 10^{-4} \text{ л}^2 \text{ моль}^{-2} \text{ с}^{-1}$ .

Кислотный катализ реакции (XIII) обусловлен промежуточным образованием в лимитирующей стадии неустойчивого иодида нитрозила, реагирующего по схеме:



В водных растворах при  $pH > 4.5$  реакция (XIII) не протекает, так как окислителем является не ион  $NO_2^-$ , а молекула  $HNO_2$  ( $pK_a = 3.4$ ), которая не существует в нейтральной и щелочной водных средах [19].

Известно, что спирт и пиридин увеличивают константы устойчивости кислот более, чем на шесть порядков [16]. Дело в том, что логарифмы констант устойчивости  $HNO_2$  и  $HI$  обратно пропорциональны диэлектрической проницаемости (ДП) растворителя, величина которой у спирта (ДП = 31) в 2.5, а у пиридина (ДП = 12) в 6.5 раз меньше, чем у воды (ДП = 78). Поэтому в нейтральной спиртовой и даже щелочной пиридин-спиртовой средах реакция (I) протекает достаточно быстро, однако при переходе от спиртового к пиридин-спиртовому раствору скорость реакции снижается, а при добавлении уксусной кислоты ( $HOAc$ ) закономерно растет (рис. 2). В кислой среде существенно ускоряется реакция (XIII), в которой  $I_2$ , участвующий в образовании основного продукта  $(RO)_3PO$ , генерируется за счет ликвидации  $HI$ , способствующего образованию побочного продукта – фосфористой кислоты. При  $[HOAc] \leq 2$  моль/л наблюдаются высокие скорость и селективность реакции (I), но несколько увеличивается расход  $NaNO_2$  на образование  $NaNO_3$  (таблица).

**Основные стадии катализитического окисления  $P_4$  кислородом в спирте в присутствии  $I_2$  и  $NaNO_2$ .** Известно [12, 13, 21 - 26], что  $HNO_2$  является эффективным катализатором окисления многих органических соединений кислородом в водных и водно-органических средах. Бирадикальный  $O_2$  в отсутствие катализатора окисляет эти соединения медленно, так как “встречает” запреты по спину в двухэлектронных и по термодинамике – в одноэлектронных химических реакциях с нерадикальными молекулами [21]. В отличие от  $O_2$  молекула  $HNO_2$  относительно легко окисляет многие вещества с образованием радикала  $NO$ , быстро реагирующего с  $O_2$  [21]. Особенно эффективна смешанная бифункциональная система  $NO-I_2$ , которая содержит оксид азота, связывающий  $O_2$ , и иод, окисляющий многие неорганические [22] и органические [12, 13, 23 - 26] соединения.

Из экспериментальных данных следует, что если в избытке  $NaNO_2$  и  $I_2$  (начало опыта)  $P_4$  окисляется нитритом натрия, то после точки максимума на кривых  $w-\tau$  и  $w-Q$  (после восстановления  $NaNO_2$  до  $NO$ , а  $I_2$  до  $I^-$ ) тетрафосфор окисляется кислородом (большой цикл схемы). Катализатором процесса становится система  $I^-NO$ .

Катализитическое окисление  $P_4$  кислородом в присутствии бифункционального катализатора  $I^-NO$  начинается с реакции окисления  $NO$  кисло-